



## 6020-2. IMPACTO DEL RITMO Y LA FRECUENCIA SOBRE EL VOLTAJE OMNIPOLAR EN ISTMOS DE CONDUCCIÓN RESIDUAL MIOCÁRDICA

Marcel Martínez Cossiani<sup>1</sup>, Sergio Castrejón Castrejón<sup>1</sup>, Margarita Sanromán Junquera<sup>2</sup>, Carlos Escobar Cervantes<sup>1</sup>, Andrea Severo Sánchez<sup>1</sup>, Juan José de la Vieja Alarcón<sup>2</sup>, Antonio Cartón<sup>1</sup>, Angela Angione<sup>1</sup>, Mercedes Quiroga<sup>1</sup>, Leonardo Guido<sup>1</sup>, Esteban López de Sá y Areses<sup>1</sup> y José Luis Merino Lloréns<sup>1</sup>

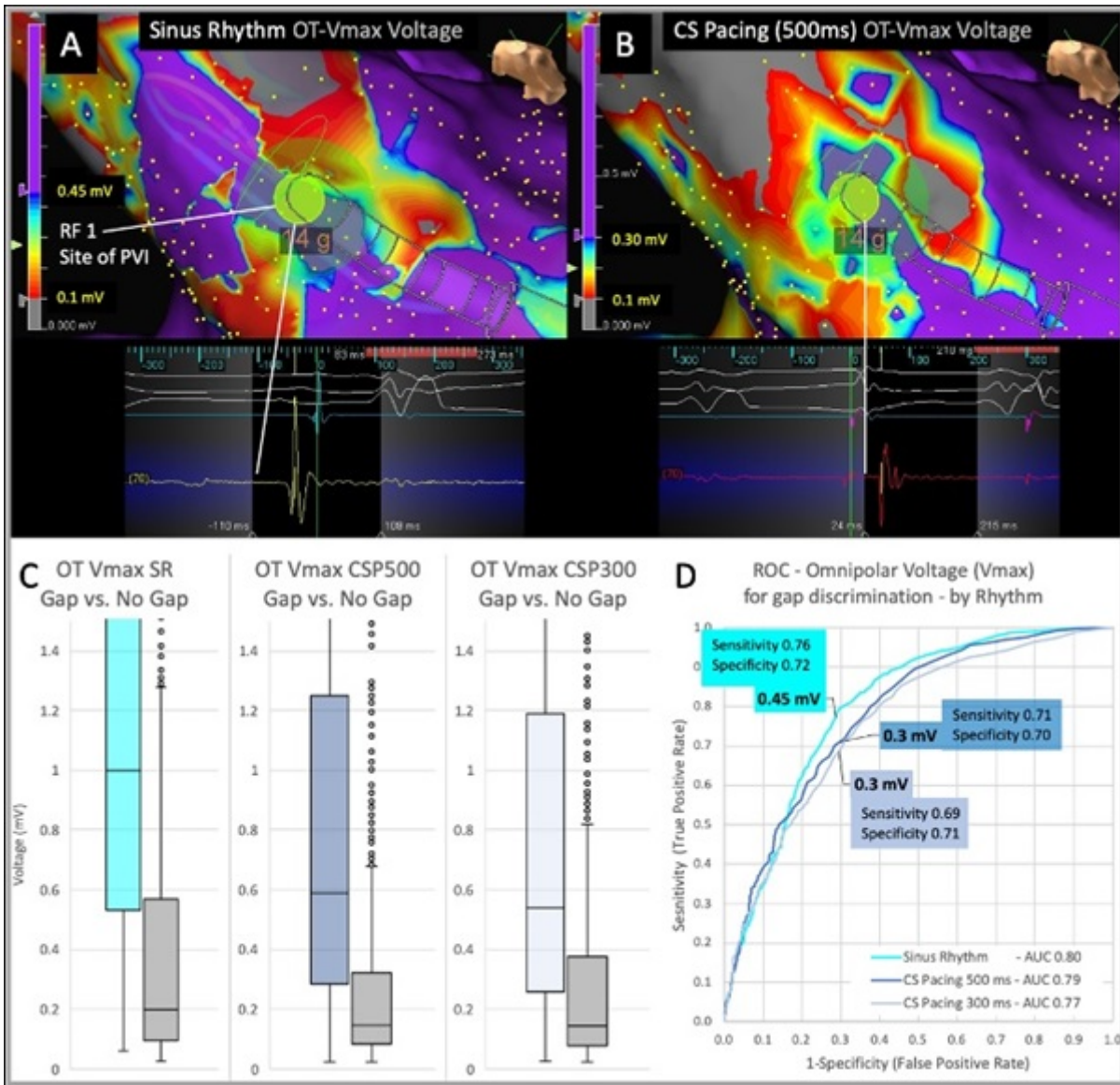
<sup>1</sup>Hospital Universitario La Paz, Madrid y <sup>2</sup>Abbott, Madrid.

### Resumen

**Introducción y objetivos:** La amplitud de voltaje de electrogramas (EGM) está ampliamente aceptada para la identificación de cicatrices, aunque la caracterización del substrato funcional es aún compleja. Objetivo: estudiar las diferencias funcionales del voltaje en relación con la longitud de ciclo y el origen del frente de activación durante la conducción ístmica en los antros de las venas pulmonares (VP), utilizando la tecnología omnipolar (TO) para el control del ángulo de detección.

**Métodos:** Se realizó cartografía de activación y voltaje con un catéter rectangular de 16 polos (HD-Grid) en procedimientos de reaislamiento de VP (rAVP) durante: ritmo sinusal (RS), estimulación continua desde SC a 500 ms (SC500) y estimulación continua rápida desde SC a 300 ms (SC300). EGM con TO se procesaron retrospectivamente para obtener el máximo voltaje independiente de orientación (TO-V<sub>máx</sub>). Se incluyeron como gaps a los sitios de rAVP que requirieron ≥ 3 aplicaciones de radiofrecuencia, clasificándose los EGM # 1 cm como No-GAP (A y B).

**Resultados:** Se encontraron 23 gaps en 12 de 15 pacientes consecutivos, analizándose 7.386 EGM (3.248 GAP vs 4.138 No-GAP). Tanto en GAP como No-GAP, la TO-V<sub>máx</sub> fue mayor en RS vs SC500 (GAP-RS: 2,18 ± 2,61mV vs GAP-SC500: 1,18 ± 1,43 mV, p 0,001; No-GAP-RS: 0,69 ± 1,29 mV vs No-GAP-SC500: 0,37 ± 0,65mV, p 0,001). TO-V<sub>máx</sub> fue ligeramente mayor con SC500 vs SC300 (GAP-SC500: 1,18 ± 1,43 mV vs GAP-SC300: 0,96 ± 1,16 mV, p 0,001; No-GAP-SC500: 0,37 ± 0,65 mV vs No-GAP-SC300: 0,34 ± 0,59 mV, p 0,001 (C). Las curvas ROC mostraron similar discriminación entre los diferentes ritmos (AUC: 0,80-RS, 0,79-SC500 y 0,77-SC300) con valores de corte óptimos de 0,45 mV en RS vs 0,30mV bajo SC500 como SC300 (D).



**Conclusiones:** El voltaje en istmos de conducción residual es influenciado por el modo de activación y, en menor medida, por la frecuencia. La discriminación de gaps de VP es similar en RS como SC500-300, mientras que los valores de corte son significativamente mayores en RS que en SC500-300.